

# ЗАВИСИМОСТЬ ДИФФЕРЕНЦИАЛЬНЫХ СЕЧЕНИЙ ПРОЦЕССА РАДИАЦИОННО-СТОЛКНОВИТЕЛЬНОГО ВОЗБУЖДЕНИЯ МЕТАСТАБИЛЬНЫХ СОСТОЯНИЙ АТОМОВ ОТ ПОЛЯРИЗАЦИИ ИЗЛУЧЕНИЯ

Е. А. Чесноков\*

*Институт физики Санкт-Петербургского государственного университета  
198904, Петергоф, Санкт-Петербург, Россия*

Поступила в редакцию 6 июня 2005 г.

Рассчитаны полные и дифференциальные сечения процесса радиационно-столкновительного возбуждения метастабильного  $2^1S$ -состояния атомов He при столкновениях с атомами He в поле внешнего излучения различной частоты и поляризации. Расчеты выполнены для тепловой энергии столкновения  $E = 10^{-3}$  ат.ед. и интенсивности света  $I = 1$  МВт/см<sup>2</sup>, что соответствует однократному поглощению фотона квазимолекулой в ходе столкновения. Показано, что как дифференциальные, так и полные сечения сильно зависят от относительной ориентации вектора поляризации излучения и вектора начальной относительной скорости сталкивающихся атомов. Исследована азимутальная асимметрия рассеяния, связанная с ориентацией углового момента поглощаемого фотона.

PACS: 34.50.-s

## 1. ВВЕДЕНИЕ

В последние годы значительный интерес был проявлен к исследованию угловых распределений атомов, формируемых в ходе экспериментов с пересекающимися атомными пучками в поле лазерного излучения. В частности, на примере реакции возбуждения атомов Na при столкновениях с атомами инертных газов в поле квазирезонансного лазерного излучения было показано, что исследование изменения структуры дифференциальных сечений в зависимости от частоты, поляризации излучения и энергии столкновения позволяет судить о геометрии радиационно-столкновительных процессов [1, 2], анализировать неадиабатические переходы в квазимолекуле [3], а также с достаточно высокой точностью воспроизводить потенциалы взаимодействия атомов в основном и возбужденном состояниях [4, 5].

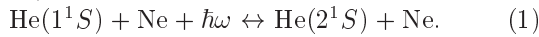
В то же время дифференциальные сечения радиационно-столкновительных процессов, ведущих к столкновительно-индуцированному радиационному возбуждению метастабильных состояний одно-

го из сталкивающихся атомов, остаются практически неисследованными. Сложность экспериментального наблюдения таких процессов связана с малостью дипольного момента перехода, индуцированного взаимодействием атомов, и, соответственно, с малостью сечений радиационно-столкновительного возбуждения. Тем не менее можно отметить ряд работ по экспериментальному наблюдению спектральных распределений, формируемых в ходе данного рода процессов [6–9]. Попытки создания адекватного теоретического описания также встречают на своем пути ряд трудностей. В частности, широко используемый метод сильной связи каналов (см., например, [2]) оказывается малоэффективным при отсутствии хороших исходных данных о потенциалах взаимодействия атомов и дипольном моменте перехода. В то же время определение последних представляет собой сложную квантовохимическую задачу, особенно в случае взаимодействия двух компактных атомов в  $^1S$ -состояниях, поскольку требует совместного учета движения всех электронов в квазимолекуле. Другой часто используемый при анализе оптических столкновений метод основан на приближении Кондона. Однако, как было показано в ра-

\*E-mail: tchesn@ec8174.spb.edu

боте [10], кондоновское приближение справедливо лишь в случае плавно меняющегося взаимодействия между состояниями квазимолекулы. В случае же взаимодействия, которое сильно зависит от межъядерного расстояния  $R$ , что соответствует специфике столкновительно-индуцированных радиационных переходов (для которых дипольный момент перехода при больших  $R$  равен нулю), область применимости кондоновского приближения весьма ограничена.

В работе [11] на основе приводящей к замкнутому аналитическому выражению для амплитуды рассеяния модели экспоненциально зависящего от  $R$  взаимодействия двух кулоновских термов [12] был выполнен оценочный расчет дифференциальных сечений реакции столкновительно-индуцированного излучения,



Хотя полученные результаты правильно воспроизводят некоторые общие закономерности поведения дифференциальных сечений, использование кулоновских аппроксимаций для потенциалов основного и возбужденного состояний приводит к заведомо неверной количественной оценке сечений, а также делает невозможным воспроизведение ряда особенностей дифференциальных сечений, связанных с короткодействующим характером взаимодействия атомов в основном состоянии. Кроме того, расчет [11] был выполнен в приближении одинакового центростремительного потенциала в обоих каналах реакции, что, по сути дела, означает пренебрежение угловым моментом фотона и исключает возможность исследования эффектов, связанных с поляризацией излучения.

Цель настоящей работы состоит в расчете и последующем анализе структуры дифференциальных и полных сечений реакции (1) с поглощением в зависимости от поляризации излучения. Расчет основан на достаточно точных [10] экспоненциальных аппроксимациях для радиационной ширины и потенциалов взаимодействия атомов в основном и возбужденном  $^1\Sigma$ -состояниях и предполагает корректный учет углового момента фотона.

Механизм реакции (1) подробно описан в работе [10]. Экспоненциальные аппроксимации для потенциалов основного  $|^1\Sigma, 1^1S\rangle$ - и возбужденного  $|^1\Sigma, 2^1S\rangle$ -состояний квазимолекулы в области энергий  $10\text{--}1000\text{ см}^{-1}$ , основанные на данных из работ [13, 14], имеют вид

$$U_g(R) = 2594 \exp(-3.439R), \\ U_e(R) = 0.404 \exp(-0.917R).$$

Радиационная ширина возбужденного  $|^1\Sigma, 2^1S\rangle$ -состояния квазимолекулы [15] возникает по мере сближения атомов вследствие перемешивания волновых функций метастабильного  $2^1S$ - и резонансного  $2^1P$ -состояний атомов He. Экспоненциальная аппроксимация для ширины имеет вид  $\Gamma(R) = 4.84 \cdot 10^{-5} \exp(-1.84R)$ . Здесь и далее, если не оговорено особо, используется атомная система единиц.

## 2. ТЕОРИЯ РАДИАЦИОННОГО ПЕРЕХОДА МЕЖДУ ДВУМЯ $^1\Sigma$ -ТЕРМАМИ

### 2.1. Квантовая теория

При малых интенсивностях излучения, когда вероятность радиационного перехода как на каждом этапе, так и в ходе всего столкновения гораздо меньше единицы, амплитуда и дифференциальное сечение радиационно-столкновительного процесса могут быть получены в рамках метода искаженных волн [16]:

$$f_{fi}(\mathbf{k}_f, \mathbf{k}_i, \mathbf{e}) = \\ = -\frac{\mu}{2\pi} \int \Psi_{\mathbf{k}_f}^{(-)*}(\mathbf{R}) V(\mathbf{R}) \Psi_{\mathbf{k}_i}^{(+)}(\mathbf{R}) d^3R, \quad (2) \\ \frac{d\sigma}{d\Omega} = \frac{k_f}{k_i} |f_{fi}(\mathbf{k}_f, \mathbf{k}_i, \mathbf{e})|^2, \quad (3)$$

где  $\mu$  — приведенная масса сталкивающихся атомов,  $\mathbf{k}_{i,f}$  — импульсы относительного движения атомов до и после столкновения,  $\Psi_{\mathbf{k}_i}^{(+)}(\mathbf{R})$  и  $\Psi_{\mathbf{k}_f}^{(-)}(\mathbf{R}_f)$  — волновые функции относительного движения атомов в начальном и конечном каналах, удовлетворяющие известным асимптотикам [17].

Поскольку дипольный момент перехода между двумя  $^1\Sigma$ -состояниями квазимолекулы параллелен направлению межъядерной оси  $\mathbf{d}_{fi} = d(R)\hat{\mathbf{R}}$ , где  $\hat{\mathbf{R}}$  — единичный вектор в направлении межъядерной оси, матричный элемент дипольного взаимодействия квазимолекулы с внешним электромагнитным полем

$$\mathbf{E} = E_0 \text{Re} [\mathbf{e} \exp(-i\omega t)]$$

интенсивности  $I = cE_0^2/8\pi$  может быть представлен в виде произведения радиальной и угловой частей взаимодействия:

$$V(\mathbf{R}) = V(\hat{\mathbf{R}})V(R), \quad (4)$$

где

$$V(\hat{\mathbf{R}}) = -\mathbf{e} \cdot \hat{\mathbf{R}}, \quad V(R) = (E_0/2) d(R).$$

Разложение функций  $\Psi_{\mathbf{k}_i}^{(+)}(\mathbf{R})$  и  $\Psi_{\mathbf{k}_f}^{(-)}(\mathbf{R})$  по парциальным волнам позволяет выразить амплитуду рассеяния через элементы  $S$ -матрицы рассеяния:

$$f(\theta, \varphi, \mathbf{e}) = \mathbf{e} \cdot \mathbf{f}(\theta, \varphi), \quad \mathbf{f}(\theta, \varphi) = \sum_{\nu} \mathbf{e}_{\nu} f_{\nu}(\theta, \varphi), \quad (5)$$

где углы  $\theta, \varphi$  задают направление вектора конечного относительного импульса сталкивающихся атомов  $\mathbf{k}_f$  (ось  $z$  полагаем направленной вдоль вектора начального относительного импульса  $\mathbf{k}_i$ ). Сферические компоненты амплитуды рассеяния задаются формулами

$$\begin{aligned} f_0(\theta) &= (4k_i k_f)^{-1/2} \times \\ &\times \sum_{l=0}^{\infty} [lS_{l-1 \rightarrow l} - (l+1)S_{l+1 \rightarrow l}] P_l(\cos \theta), \\ f_{\pm 1}(\theta, \varphi) &= \mp \left(1/\sqrt{2}\right) \exp(\pm i\varphi) f_{(1)}(\theta), \\ f_{(1)}(\theta) &= (4k_i k_f)^{-1/2} \times \\ &\times \sum_{l=1}^{\infty} [S_{l-1 \rightarrow l} + S_{l+1 \rightarrow l}] P_1^l(\cos \theta) \end{aligned} \quad (6)$$

и связаны с декартовыми компонентами соотношениями

$$\begin{aligned} f_z(\theta) &= f_0(\theta), \quad f_x(\theta, \varphi) = \cos \varphi f_{(1)}(\theta), \\ f_y(\theta, \varphi) &= \sin \varphi f_{(1)}(\theta). \end{aligned} \quad (7)$$

Элементы  $S$ -матрицы рассеяния имеют вид

$$\begin{aligned} S_{l_i \rightarrow l_f} &= -i2\pi \exp \left[ i(\delta_i^{l_i} + \delta_f^{l_f}) \right] \times \\ &\times \int_0^{\infty} \Psi_{E_f}^{l_f}(R) V(R) \Psi_{E_i}^{l_i}(R) dR. \end{aligned} \quad (8)$$

Здесь  $\Psi_E^l(R)$  есть радиальные, регулярные в нуле вещественные волновые функции, нормированные на  $\delta$ -функцию от энергии,  $\delta^l$  — фазы упругого рассеяния.

Выражения (6) наряду с полиномами Лежандра  $P_l(\cos \theta)$  содержат присоединенные функции Лежандра  $P_l^1(\cos \theta)$ , которые возникают при вычислении матричного элемента угловой части дипольного взаимодействия  $V(\hat{\mathbf{R}})$  в обкладках сферических функций, задающих начальное и конечное вращательные состояния квазимолекулы. Поглощение фотона приводит к изменению углового момента относительного движения атомов  $l \pm 1 \rightarrow l$ , которое соответствует ветвям  $P$  и  $R$  в теории излучения молекул.

В случае произвольной линейной поляризации,

$$\mathbf{e} = \mathbf{e}_z \cos \theta_p + \mathbf{e}_x \sin \theta_p \cos \varphi_p + \mathbf{e}_y \sin \theta_p \sin \varphi_p, \quad (9)$$

амплитуда рассеяния имеет вид

$$\begin{aligned} f(\theta, \varphi, \mathbf{e}) &= \\ &= \cos \theta_p f_0(\theta) + \sin \theta_p \cos(\varphi - \varphi_p) f_{(1)}(\theta), \end{aligned} \quad (10)$$

при этом дифференциальное сечение задается формулой

$$\begin{aligned} \frac{d\sigma(\mathbf{e})}{d\Omega} &= \frac{k_f}{k_i} \left\{ \cos^2 \theta_p |f_0(\theta)|^2 + \right. \\ &+ \sin^2 \theta_p \cos^2(\varphi - \varphi_p) |f_{(1)}(\theta)|^2 + \\ &\left. + \sin(2\theta_p) \cos(\varphi - \varphi_p) \operatorname{Re} [f_0(\theta) f_{(1)}^*(\theta)] \right\}. \end{aligned} \quad (11)$$

Проинтегрировав (11) по телесному углу  $\Omega$ , получаем выражение для полного сечения:

$$\sigma(\mathbf{e}) = \sigma_{\parallel} \cos^2 \theta_p + \sigma_{\perp} \sin^2 \theta_p, \quad (12)$$

где

$$\begin{aligned} \sigma_{\parallel} &= 2\pi \frac{k_f}{k_i} \int |f_0(\theta)|^2 \sin \theta d\theta, \\ \sigma_{\perp} &= \pi \frac{k_f}{k_i} \int |f_{(1)}(\theta)|^2 \sin \theta d\theta \end{aligned} \quad (13)$$

есть полные сечения для случаев, соответственно, параллельной начальному относительному импульсу и перпендикулярной поляризации. Множитель  $1/2$  возникает в выражении для  $\sigma_{\perp}$  при усреднении по азимутальному углу  $\varphi$ . Проинтегрировав квадраты модулей амплитуд,  $|f_0(\theta)|^2$  и  $|f_{(1)}(\theta)|^2$ , по углу рассеяния  $\theta$ , с учетом ортогональности полиномов Лежандра имеем

$$\begin{aligned} \sigma_{\parallel} &= \frac{\pi}{k_i^2} \sum_{l=0}^{\infty} \frac{1}{2l+1} |lS_{l-1 \rightarrow l} - (l+1)S_{l+1 \rightarrow l}|^2, \\ \sigma_{\perp} &= \frac{\pi}{2k_i^2} \sum_{l=1}^{\infty} \frac{l(l+1)}{2l+1} |S_{l-1 \rightarrow l} + S_{l+1 \rightarrow l}|^2. \end{aligned} \quad (14)$$

Усредняя полное сечение (12) по поляризациям излучения или по направлениям начальной относительной скорости сталкивающихся атомов в условиях газовой ячейки, получаем

$$\begin{aligned} \sigma &= \frac{\sigma_{\parallel} + 2\sigma_{\perp}}{3} = \\ &= \frac{\pi}{3k_i^2} \sum_{l=0}^{\infty} [(l+1)|S_{l \rightarrow l+1}|^2 + l|S_{l \rightarrow l-1}|^2], \end{aligned} \quad (15)$$

где множитель 2 перед  $\sigma_{\perp}$  соответствует двум возможным перпендикулярным поляризациям.

В случае, когда вектор поляризации  $\mathbf{e}$  лежит в плоскости столкновения, положим ось  $x$  в той же

полуплоскости, что и вектор поляризации ( $\varphi_p = 0$ ), при этом для наблюдателя, ориентированного головой по оси  $y$  и лицом в направлении оси  $z$ , рассеянию налево соответствует  $\varphi = 0$ , а рассеянию направо —  $\varphi = \pi$ . Выражения для амплитуды рассеяния и дифференциального сечения принимают вид

$$f(\theta, \theta_p) = \cos \theta_p f_0(\theta) \pm \sin \theta_p f_{(1)}(\theta), \quad (16)$$

$$\frac{d\sigma(\theta_p)}{d\Omega} = \frac{k_f}{k_i} \left( \cos^2 \theta_p |f_0(\theta)|^2 + \sin^2 \theta_p |f_{(1)}(\theta)|^2 \pm \sin(2\theta_p) \operatorname{Re} [f_0(\theta) f_{(1)}^*(\theta)] \right), \quad (17)$$

где верхний знак отвечает рассеянию налево, нижний — рассеянию направо.

В случае правой или левой круговой поляризации в плоскости столкновения,

$$\mathbf{e}_{r,l} = \mp \frac{\mathbf{e}_z \pm i\mathbf{e}_x}{\sqrt{2}}, \quad (18)$$

амплитуда и дифференциальное сечение рассеяния имеют вид

$$f_{r,l}(\theta) = \mp \frac{f_0(\theta) \pm i f_{(1)}(\theta)}{\sqrt{2}}, \quad (19)$$

$$\frac{d\sigma_{r,l}}{d\Omega} = \frac{k_f}{k_i} \left( \frac{1}{2} |f_0(\theta)|^2 + \frac{1}{2} |f_{(1)}(\theta)|^2 \pm \operatorname{Im} [f_0(\theta) f_{(1)}^*(\theta)] \right). \quad (20)$$

Для правой круговой поляризации верхний знак в формуле (20) соответствует рассеянию налево, нижний знак — рассеянию направо, для левой круговой поляризации — наоборот.

## 2.2. Приближение Кондона

В рамках кондоновского приближения (см., например, [2, 10, 11]) радиационные переходы происходят в моменты, когда атомы находятся на удалении  $R_C$  друг от друга. Радиус  $R_C$  зависит от частоты излучения и определяется из уравнения

$$\Delta U(R_C) = \Delta\omega, \quad (21)$$

где  $\Delta U = U_e - U_g$  — разность потенциалов возбужденного и основного состояний, отсчитанных от уровней энергии изолированных атомов,  $\Delta\omega$  — отстройка частоты излучения  $\omega$  от частоты запрещенного атомного перехода  $\omega_0$ . Для рассматриваемой

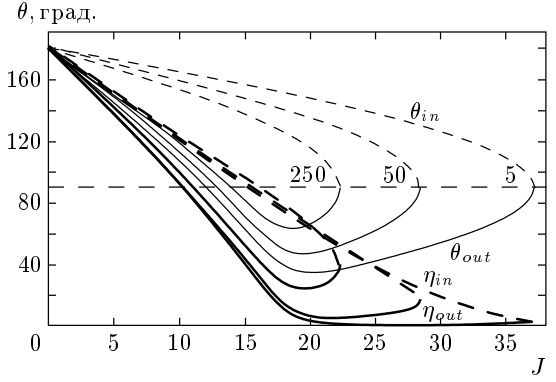


Рис. 1. Функции отклонения  $\eta_{in,out}(J)$  и углы, задающие положения кондоновских векторов  $\theta_{in,out}(J)$ , рассчитанные для энергии столкновения  $E = 10^{-3}$  ат. ед. при различных значениях частоты отстройки  $\Delta\omega = 5, 50, 250 \text{ см}^{-1}$

реакции (1) разностный потенциал  $\Delta U$  имеет максимум при  $R = 4$ . При этом уравнение (21) в интересующем нас интервале частот  $\Delta\omega \in 0-300 \text{ см}^{-1}$  определяет две кондоновские точки: одна из них находится при  $R > 6$ , вторая — при  $R < 3.5$ . В работе [10] было показано, что при энергиях столкновения  $E \sim 10^{-3}$  вкладом от второй кондоновской точки можно пренебречь и ограничиться рассмотрением радиационных переходов при  $R > 6$ . Таким образом, в рамках полуклассического рассмотрения рассеяние на фиксированный угол  $\theta$  формируется за счет вклада от двух траекторий с угловыми моментами  $J_{1,2}$ , которые можно определить из уравнений

$$\eta_{in,out}(J) = \theta, \quad (22)$$

где функции отклонения

$$\eta_{in,out}(J) = \pi - (\chi_e + \chi_g)(\infty, J) \mp (\chi_e - \chi_g)(R_C, J), \quad (23)$$

$$\chi(R, J) = J \int_{R_{tp}}^R \frac{dR}{R^2 k(R)},$$

$$k(R) = \sqrt{2\mu(E - U(R)) - \frac{J^2}{R^2}},$$

соответствуют траекториям, для которых радиационный переход имеет место при сближении (in) либо при разлете (out) атомов.

На рис. 1 показаны функции отклонения  $\eta_{in,out}$  для различных значений частоты отстройки  $\Delta\omega$ .

При  $\theta > \theta_C$ , где угол  $\theta_C$  отвечает максимальному угловому моменту  $J_C$ , для которого точка перехода  $R_C$  классически достижима, вклад в рассеяние на угол  $\theta$  вносят in- и out-траектории. При  $\theta_r < \theta < \theta_C$ , где  $\theta_r$  есть минимум функции отклонения  $\eta_{out}$ , обе траектории соответствуют переходу при разлете. Область углов  $\theta < \theta_r$  классически недостижима. Поскольку величины  $\theta_C$  и  $\theta_r$  близки, будем считать в дальнейшем, что полуклассическое кондоновское приближение пригодно для анализа дифференциальных сечений рассеяния в области углов  $\theta > \theta_C$ , где рассеяние определяется суммой вкладов от in- и out-траекторий.

В случае, когда вектор линейной поляризации расположен в плоскости столкновения, выражения для амплитуды и дифференциального сечения рассеяния, полученные в рамках полуклассического кондоновского приближения, имеют вид [2]

$$f_{FC}(\theta, \theta_p) = \left(\frac{k_i}{k_f}\right)^{1/2} \left[ \sigma_{in}^{1/2} \cos(\theta_{in} - \theta_p) \exp(i\phi_{in}) + \sigma_{out}^{1/2} \cos(\theta_{out} - \theta_p) \exp(i\phi_{out}) \right], \quad (24)$$

$$\frac{d\sigma_{FC}(\theta, \theta_p)}{d\Omega} = \sigma_{in} \cos^2(\theta_{in} - \theta_p) + \sigma_{out} \cos^2(\theta_{out} - \theta_p) + 2(\sigma_{in}\sigma_{out})^{1/2} \cos(\phi_{in} - \phi_{out}) \cos(\theta_{in} - \theta_p) \times \cos(\theta_{out} - \theta_p). \quad (25)$$

Здесь

$$\sigma_{in,out} = \frac{P_{L1}(J_{in,out})J_{in,out}|dJ_{in,out}/d\theta|}{k_i^2 \sin \theta}$$

представляют собой однотраекторные сечения рассеяния, полученные без учета сферически-несимметричной части взаимодействия  $V(\hat{\mathbf{R}})$ ,

$$P_{L1} = \frac{2\pi\mu V_C^2}{k_C \Delta F_C}$$

есть вероятность Ландау, вычисленная для однократного прохождения области неадиабатичности [17],  $V_C = V(R_C)$  — матричный элемент взаимодействия в точке пересечения термов  $R_C$ ,

$$\Delta F_C = (U'_g - U'_e)(R_C)$$

есть разность сил в точке  $R_C$ ,  $k_C = k_e(R_C) = k_g(R_C)$  — импульс относительного движения атомов в точке  $R_C$ . Фазы  $\phi_{in,out}$  определяются формулами

$$\phi_{in,out} = 2\delta_{in,out}(J_{in,out}) - \theta J_{in,out} \pm \frac{\pi}{4}, \quad (26)$$

$$2\delta_{in,out}(J) = \delta_e^J + \delta_g^J \pm (S_e - S_g)(R_C), \quad (27)$$

где

$$S(R) = \int_{R_{tp}}^R k(R) dR$$

есть классические функции действия,  $\delta^J$  представляют собой квазиклассические ВКБ-асимптотики для фаз рассеяния  $\delta^l$ . Углы  $\theta_{in,out}$  задают направления кондоновских векторов  $\mathbf{R}_C^{in,out}$ , т.е. положения межъядерной оси в моменты радиационных переходов

$$\theta_{in,out}(J) = \pi - \chi_g(\infty, J) \pm \chi_g(R_C, J). \quad (28)$$

На рис. 1 приведены функции  $\theta_{in,out}(J)$  для различных частот излучения.

Формулы (24), (25) соответствуют рассеянию влево ( $\varphi = 0$ ), при рассмотрении рассеяния в правую полуплоскость ( $\varphi = \pi$ ) следует заменить  $\theta_p$  на  $\pi - \theta_p$ . Множители  $\cos(\theta_{in,out} - \theta_p)$  представляют собой угловую часть оператора дипольного взаимодействия  $V(\hat{\mathbf{R}})$ .

В случае правой или левой круговой поляризации в плоскости столкновения дифференциальное сечение рассеяния имеет вид

$$\frac{d\sigma_{r,l}^{FC}}{d\Omega} = \frac{\sigma_{in}}{2} + \frac{\sigma_{out}}{2} + (\sigma_{in}\sigma_{out})^{1/2} \cos(\phi_{in} - \phi_{out} \pm (\theta_{in} - \theta_{out})). \quad (29)$$

Полные сечения рассеяния для случаев параллельной и перпендикулярной линейных поляризаций задаются формулами

$$\begin{aligned} \sigma_{\parallel}^{FC} &= \frac{2\pi}{k_i^2} \int_0^{J_C} P_{L1}(J) (\cos^2 \theta_{in} + \cos^2 \theta_{out}) J dJ, \\ \sigma_{\perp}^{FC} &= \frac{\pi}{k_i^2} \int_0^{J_C} P_{L1}(J) (\sin^2 \theta_{in} + \sin^2 \theta_{out}) J dJ. \end{aligned} \quad (30)$$

Сложив  $\sigma_{\parallel}^{FC}/3$  и  $2\sigma_{\perp}^{FC}/3$ , получим хорошо известное выражение для полного сечения неадиабатического перехода (см., например, [18]), в котором коэффициент  $1/3$  соответствует тому, что в условиях газовой ячейки в среднем только треть квазимолекул имеют дипольный момент, ориентированный вдоль вектора поляризации.

### 3. РЕЗУЛЬТАТЫ РАСЧЕТОВ

#### 3.1. Полные сечения рассеяния

Расчет дифференциальных (11) и полных (14) сечений рассеяния сводится к вычислению элементов  $S$ -матрицы (8) и последующему суммированию по парциальным сечениям. Для рассматриваемой энергии столкновения  $E = 10^{-3}$  ат. ед. при суммировании следует учитывать порядка 40 парциальных волн (см. рис. 1). Поскольку потенциалы взаимодействия атомов как в основном, так и в возбужденном состояниях квазимолекулы являются слабо отталкивательными, что исключает возможность эффектов «орбитирования», а также образование квазисвязанных состояний, вычисление элементов  $S$ -матрицы рассеяния можно существенно упростить, используя равномерные аппроксимации Лангера (см., например, [19]) для радиальных волновых функций начального и конечного состояний:

$$\Psi_E^l(R) = (2\mu)^{1/2} \left( \frac{\xi(R)}{k^2(R)} \right)^{1/4} \text{Ai}(-\xi(R)), \quad (31)$$

где

$$\xi(R) = \left( \frac{3}{2} S(R) \right)^{2/3},$$

Аi есть функция Эйри.

Результаты расчета полных сечений по формулам (14), (8) приведены на рис. 2. В голубом крыле запрещенной спектральной линии сечение для перпендикулярной поляризации преобладает над сечением для параллельной поляризации. По мере уменьшения частоты отстройки различие между сечениями для параллельной и перпендикулярной поляризации стремится к нулю, так что при  $\Delta\omega = -14 \text{ см}^{-1}$  сечение становится не зависящим от поляризации. При дальнейшем уменьшении частоты ситуация меняется и сечение параллельной поляризации начинает преобладать над сечением перпендикулярной поляризации.

Относительное поведение сечений для параллельной и перпендикулярной поляризации в голубом крыле можно понять на основе полуклассического кондоновского приближения (30). Поскольку взаимодействие атомов в основном состоянии является короткодействующим, в первом приближении можно положить  $U_g \equiv 0$ , при этом положения кондоновских векторов определяются простыми формулами:

$$\theta_{in} = \pi - \arcsin \frac{J}{k_i R_C}, \quad \theta_{out} = \arcsin \frac{J}{k_i R_C}. \quad (32)$$

Подставляя  $\theta_{in,out}$  из (32) в выражения (30) и интегрируя по угловому моменту, получаем  $\sigma_{\parallel}^{FC} = \sigma_{\perp}^{FC}$ . Таким образом, при отсутствии взаимодействия между атомами в основном состоянии полное сечение оказывается не зависящим от поляризации излучения. Учет короткодействующего отталкивания в потенциале основного состояния приводит к увеличению множителя  $\sin^2 \theta_{out}$  и, соответственно, к уменьшению  $\cos^2 \theta_{out}$  для малых прицельных параметров  $b < 6$  ( $J < 20$ ), при этом сечение  $\sigma_{\perp}^{FC}$  становится больше сечения  $\sigma_{\parallel}^{FC}$ . По мере уменьшения частоты отстройки  $\Delta\omega$  кондоновский радиус  $R_C$  стремится к бесконечности, при этом растет область прицельных параметров, дающих вклад в сечение, так что относительный вклад от области малых прицельных параметров, которым и определяется различие между  $\sigma_{\perp}$  и  $\sigma_{\parallel}$ , становится все менее существенным.

На рис. 3 приведены парциальные сечения для параллельной и перпендикулярной поляризации. Можно отметить следующие особенности, которые имеют место для всех частот излучения. Во-первых, сечение  $\sigma_{\perp}^l$  обращается в нуль при  $l = 0$ . Во-вторых, сечение  $\sigma_{\perp}^l$  преобладает над  $\sigma_{\parallel}^l$  в области больших  $l$ , в то время как для малых  $l$  имеет место обратная ситуация. Действительно, радиационные переходы для траекторий с большими прицельными параметрами происходят при положениях межъядерной оси, близких к положению, перпендикулярному вектору начальной относительной скорости сталкивающихся атомов, при этом дипольное взаимодействие максимально для излучения, поляризованного перпендикулярно. В случае малых прицельных параметров — наоборот, положения межъядерной оси в моменты радиационных переходов близки к параллельному.

#### 3.2. Дифференциальные сечения

На рис. 4 показаны дифференциальные сечения  $\sigma_z(\theta)$  и  $\sigma_x(\theta)$ , рассчитанные для случаев параллельной и перпендикулярной линейных поляризации в плоскости столкновения ( $\varphi = \varphi_p$ ). Рисунки демонстрируют сильное различие сечений  $\sigma_z(\theta)$  и  $\sigma_x(\theta)$  как в области голубого, так и в области красного крыла запрещенной спектральной линии. Характерной особенностью сечения  $\sigma_x(\theta)$  является обращение его в нуль при  $\theta = 0$ . Действительно, для переходов  $^1S \rightarrow ^1S$  излучение фотона с проекцией спина  $m_{ph} = \pm 1$  приводит к изменению проекции углового момента относительного движения атомов  $m$  на  $\pm 1$ , что невозможно при строгом рассеянии вперед (для  $\theta = 0$  имеем  $m_i = m_f = 0$ ). Сечение  $\sigma_z(\theta)$ ,

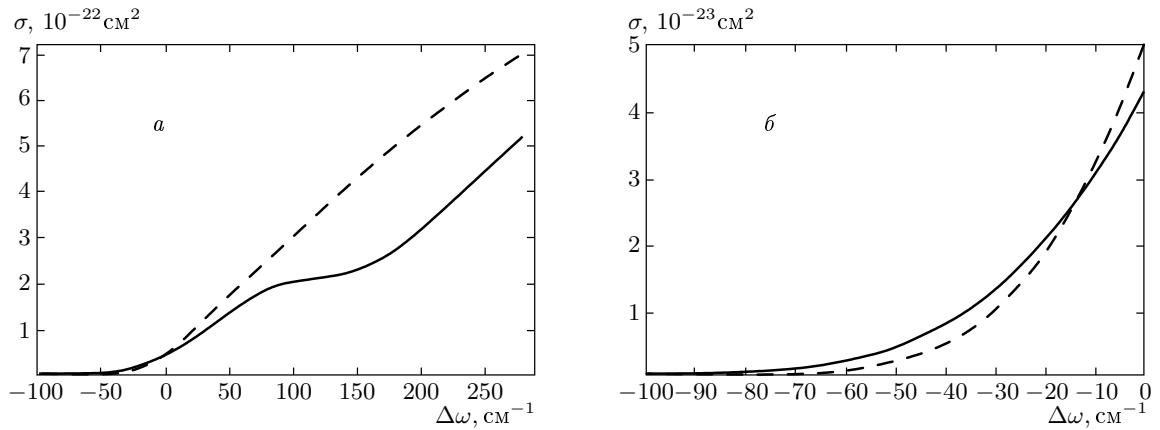


Рис. 2. Полные сечения поглощения  $\sigma_{\parallel}$  (сплошные линии) и  $\sigma_{\perp}$  (штриховые линии), рассчитанные для энергии столкновения  $E = 10^{-3}$  ат. ед.;  $a$  — голубое крыло,  $b$  — красное крыло запрещенной линии

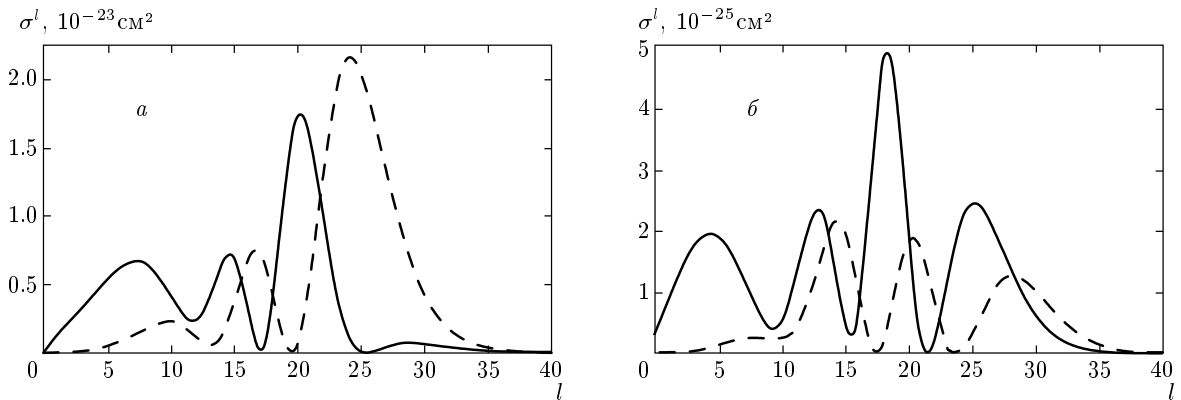
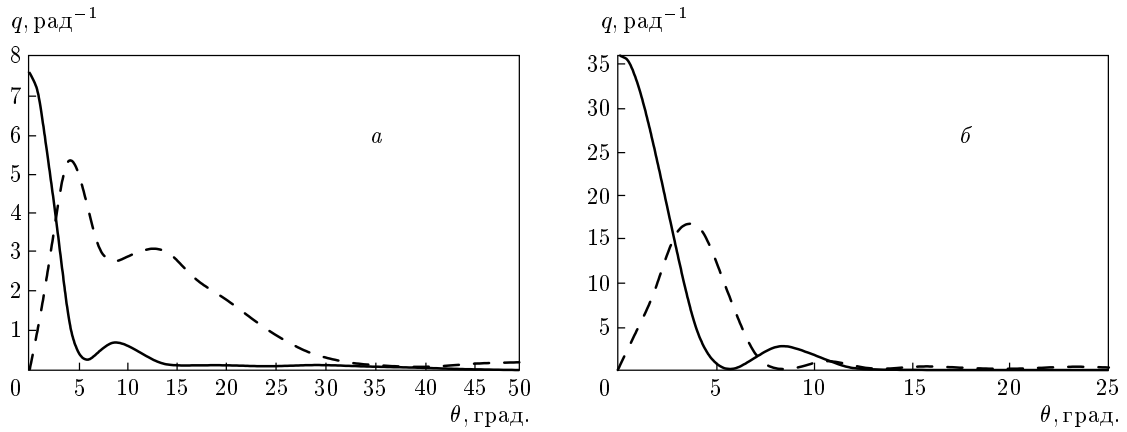


Рис. 3. Парциальные сечения  $\sigma_{\parallel}^l$  (сплошные линии) и  $\sigma_{\perp}^l$  (штриховые линии) как функции углового момента  $l$ , рассчитанные для энергии столкновения  $E = 10^{-3}$  ат. ед. при различных значениях частоты отстройки:  $\Delta\omega = 50$  ( $a$ ),  $-50$  ( $b$ )  $\text{cm}^{-1}$

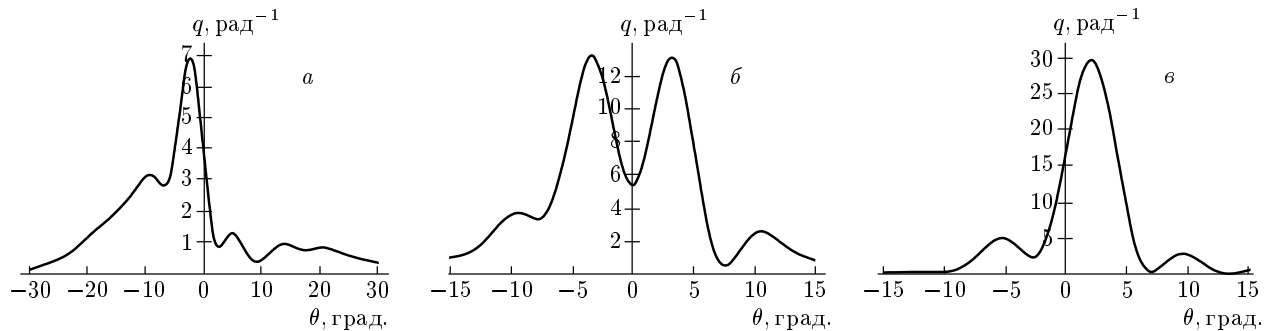
наоборот, имеет при  $\theta = 0$  ярко выраженный максимум, природа которого аналогична эффекту сияния. При малых отстройках частоты  $\Delta\omega$ , когда радужный угол  $\theta_r$  близок к нулю (см. рис. 1), практически все частицы, перешедшие в возбужденное состояние при разлете, рассеиваются на малые углы, при этом большая часть сечения  $\sigma_z$  оказывается сосредоточена в области центрального максимума.

Рисунки 5, 6 демонстрируют лево-правую асимметрию рассеяния в плоскости, образованной векторами  $\mathbf{k}_i$  и  $\mathbf{e}$  для случаев линейной и круговой поляризации. На рис. 5 приведены дифференциальные сечения, рассчитанные по формуле (17) для значения угла поляризации  $\theta_p = 45^\circ$ . Лево-правая асимметрия рассеяния связана с асимметричным положением вектора поляризации в плоскости рассеяния.

Так, в области параметров, допускающей использование кондоновского приближения, рассеяние как в левую, так и в правую полуплоскость определяется формулой (25), однако, как отмечалось выше, при рассмотрении рассеяния в правую полуплоскость угол поляризации  $\theta_p$  следует заменить на  $\pi - \theta_p$ . Интересной особенностью дифференциального сечения является исчезновение асимметрии рассеяния в области малых значений  $\theta$  при  $\Delta\omega \approx 0$  (рис. 5б). Как показывают более точные расчеты, для  $E = 220 \text{ cm}^{-1} = 10^{-3}$  ат. ед. асимметрия исчезает при  $\Delta\omega = 0.3 \text{ cm}^{-1}$ , для  $E = 100 \text{ cm}^{-1}$  — при  $\Delta\omega = -2.3 \text{ cm}^{-1}$ . Указанная выше особенность связана с интерференцией потоков частиц, рассеянных в различных полуплоскостях, и не может быть объяснена в рамках классических представлений о



**Рис. 4.** Дифференциальные сечения  $q_z(\theta) = (d\sigma_z/d\Omega)/\sigma$  (сплошные линии) и  $q_x(\theta) = (d\sigma_x/d\Omega)/\sigma$  (штриховые линии), рассчитанные для двух взаимноперпендикулярных поляризаций в плоскости столкновения. Расчет выполнен для энергии столкновения  $E = 10^{-3}$  ат. ед. при различных значениях частоты отстройки:  $\Delta\omega = 50$  (а),  $-50$  (б)  $\text{см}^{-1}$ . Сечения нормированы условием  $\frac{2\pi}{3} \int_0^\pi (q_x + q_z) \sin\theta d\theta = 1$



**Рис. 5.** Дифференциальные сечения  $q(\theta, \theta_p) = (d\sigma(\theta_p)/d\Omega)/\sigma$ , рассчитанные для линейной поляризации  $\theta_p = 45^\circ$  в плоскости столкновения. Расчет выполнен для энергии столкновения  $E = 10^{-3}$  ат. ед. при различных значениях частоты отстройки:  $\Delta\omega = 50$  (а),  $0$  (б),  $-50$  (в)  $\text{см}^{-1}$ . Отрицательные значения  $\theta$  соответствуют рассеянию налево, положительные — рассеянию направо. Сечения нормированы условием  $\frac{2\pi}{3} \int_{-\pi}^\pi q \sin|\theta| d\theta = 1$

рассеянии. Тем не менее можно предложить качественную интерпретацию, основанную на приближении Кондона.

Как следует из формулы (17), лево-правая асимметрия рассеяния исчезает в случае, когда вещественная часть произведения  $f_0(\theta)f_{(1)}^*(\theta)$  обращается в нуль. Заменяем функции Лежандра в формулах (6) их асимптотическими выражениями при малых  $\theta$  (см., например, [20]). С точностью до первого порядка по  $\theta$  имеем

$$P_l(\cos\theta) \approx 1, \quad P_l^1(\cos\theta) \approx l(l+1)\frac{\theta}{2}.$$

Учитывая также, что рассеяние на малые углы определяется большими  $l$  (в нашем случае  $l > 20$ , см.

рис. 1), и проводя стандартную для больших  $l$  замену суммирования интегрированием, получаем

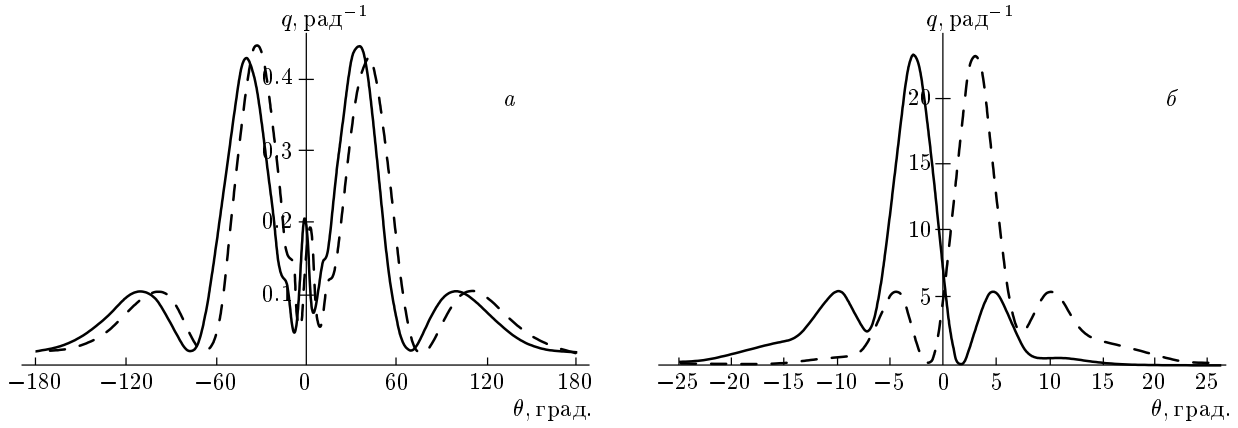
$$f_0(\theta) = (4k_i k_f)^{-1/2} \int_0^\infty (S_{l-1 \rightarrow l} - S_{l+1 \rightarrow l}) J dJ,$$

$$f_{(1)}(\theta) = (4k_i k_f)^{-1/2} \frac{\theta}{2} \times$$

$$\times \int_0^\infty (S_{l-1 \rightarrow l} + S_{l+1 \rightarrow l}) J^2 dJ. \tag{33}$$

Воспользовавшись кондоновской аппроксимацией для элементов  $S$ -матрицы (см., например, [11]), учитывая, что





**Рис. 6.** Дифференциальные сечения  $q_{r,l}(\theta) = (d\sigma_{r,l}/d\Omega)/\sigma$ , рассчитанные для правой (сплошные линии) и левой (штриховые линии) круговых поляризаций в плоскости столкновения. Расчет выполнен для энергии столкновения  $E = 10^{-3}$  ат.ед. при различных значениях частоты отстройки:  $\Delta\omega = 250$  (а),  $0$  (б)  $\text{см}^{-1}$ . Отрицательные значения  $\theta$  соответствуют рассеянию налево, положительные — рассеянию направо. Сечения нормированы условием

$$\frac{2\pi}{3} \int_{-\pi}^{\pi} q_{r,l} \sin|\theta| d\theta = 1$$

$$2\delta_{in,out}(J \pm 1 \rightarrow J) = 2\delta_{in,out}(J \rightarrow J) \pm \left( \theta_{in,out}(J) - \frac{\pi}{2} \right),$$

а также принимая во внимание, что рассеяние на малые углы формируется главным образом за счет атомов, перешедших в возбужденное состояние при разлете, получаем

$$f_0(\theta) = -i \exp \frac{i\pi}{4} (k_i k_f)^{-1/2} \times \int_0^{J_C} P_{L1}^{1/2} \exp(i2\delta_{out}) \cos \theta_{out} J dJ, \tag{34}$$

$$f_{(1)}(\theta) = -\exp \frac{i\pi}{4} (k_i k_f)^{-1/2} \frac{\theta}{2} \times \int_0^{J_C} P_{L1}^{1/2} \exp(i2\delta_{out}) \sin \theta_{out} J^2 dJ.$$

Как видно на рис. 1, при  $\Delta\omega \rightarrow 0$  функция отклонения  $\eta_{out}$  практически равна нулю в области  $J > 20$ , так что фаза рассеяния

$$2\delta_{out} = \int \eta_{out} dJ$$

близка к постоянной во всей области интегрирования, существенной для малых  $\theta$ . Вынося  $\exp(i2\delta_{out})$  из-под знаков интегрирования, получаем, что комплексные фазы для амплитуд рассеяния  $f_0$  и  $f_{(1)}$  отличаются на  $\pi/2$ , при этом  $\text{Re}[f_0 f_{(1)}^*] = 0$ . Таким образом, мы приходим к заключению, что исчезновение лево-правой асимметрии рассеяния при  $\Delta\omega \approx 0$

имеет то же происхождение, что и всплеск дифференциального сечения  $\sigma_z(\theta)$  при  $\theta = 0$ , и непосредственно связано с короткодействующим характером взаимодействия атомов в основном состоянии.

На рис. 6 показаны дифференциальные сечения, рассчитанные по формуле (20) для случаев левой и правой круговых поляризаций в плоскости рассеяния. Сечения демонстрируют сдвиг осцилляционной структуры влево для случая правой круговой поляризации и вправо для случая левой круговой поляризации, что согласуется с результатом работы [2]. Исходя из формулы (29), можно получить простую полуклассическую оценку для величины сдвига  $\Delta\theta$  между осцилляционными структурами сечений, соответствующих правой и левой круговым поляризациям:

$$\Delta\theta = 2 \frac{\theta_{in} - \theta_{out}}{J_{in} - J_{out}}. \tag{35}$$

Как показывают сравнительные расчеты, данная оценка с погрешностью в пределах 5% позволяет определить сдвиг между максимумами дифференциальных сечений для правой и левой круговых поляризаций в области углов  $\theta > \theta_C$ .

#### 4. ЗАКЛЮЧЕНИЕ

Использование первого порядка метода искаженных волн в комбинации с равномерной аппроксима-

мацией Лангера для радиальных волновых функций начального и конечного состояний квазимолекулы позволило при разных поляризациях излучения рассчитать дифференциальные и полные сечения процесса радиационно-столкновительного возбуждения метастабильного состояния одного из сталкивающихся атомов в широкой области частот излучения, включающей оба крыла и центр линии запрещенного атомного перехода. Предложенный подход накладывает определенные ограничения на область допустимых энергий столкновения и интенсивностей излучения. Оценка матричного элемента взаимодействия показывает, что при энергиях столкновения  $E \sim 10^{-3}$  ат. ед. верхняя граница для интенсивностей излучения, допускающих использование метода искаженных волн, составляет величину порядка  $10^{11}$  Вт/см<sup>2</sup>. Со своей стороны, использование аппроксимации Лангера для волновых функций исключает из рассмотрения эффекты, связанные с «орбитированием» и резонансным рассеянием на квазидискретных уровнях. Последнее обстоятельство устанавливает нижнюю границу для допустимых энергий столкновения, которая сравнима с глубиной потенциальных ям, обусловленных силами поляризационного притяжения между атомами, и для рассмотренной реакции (1) составляет величину порядка  $20$  см<sup>-1</sup>.

Привлечение кондоновского приближения дало возможность качественно интерпретировать ряд особенностей полных и дифференциальных сечений в области голубого крыла запрещенной спектральной линии, в то же время кондоновское приближение не позволяет правильно интерпретировать структуру сечений в области красного крыла. Такая интерпретация может оказаться возможной на основе равномерного квазиклассического приближения [10–12, 21], обобщенного на случай сферически-несимметричного взаимодействия атомов.

В заключение хочется отметить актуальность первого в мире эксперимента по исследованию угловых распределений атомов, формируемых в ходе реакции (1) или аналогичной реакции, приводящей к возбуждению метастабильного состояния одного из сталкивающихся атомов.

Работа выполнена при финансовой поддержке Министерства образования РФ (грант PD02-1.2-377) и администрации Санкт-Петербурга (грант PD03-1.2-193).

## ЛИТЕРАТУРА

1. J. Grosser, O. Hoffmann, C. Rakete, and F. Reben-trost, *J. Phys. Chem. A* **101**, 7627 (1997).
2. F. Reben-trost, S. Klose, and J. Grosser, *Eur. Phys. J. D* **1**, 277 (1998).
3. J. Grosser, O. Hoffmann, W. F. Schulze, and F. Reben-trost, *J. Chem. Phys.* **111**, 2853 (1999).
4. J. Grosser, O. Hoffmann, S. Klose, and F. Reben-trost, *Europhys. Lett.* **39**, 147 (1997).
5. J. Grosser, O. Hoffmann, and F. Reben-trost, *J. Phys. B* **33**, L577 (2000).
6. P. D. Kleiber and K. M. Sando, *Phys. Rev. A* **35**, 3715 (1987).
7. P. D. Kleiber, A. K. Fletcher, and K. M. Sando, *Phys. Rev. A* **37**, 3584 (1988).
8. T. Kurosawa, K. Ohmori, H. Chiba et al., *J. Chem. Phys.* **108**, 8101 (1998).
9. E. Bichoutskaia, A. Devdariani, K. Ohmori et al., *J. Phys. B* **34**, 2301 (2001).
10. А. З. Девдариани, А. Л. Загребин, Ф. Ребен-трос и др., *ЖЭТФ* **122**, 481 (2002).
11. А. З. Девдариани, Е. А. Чесноков, в сб. *Лазерные ис-следования в Санкт-Петербургском государственном университете*, НИИ «Российский Центр лазер-ной физики», Санкт-Петербург (2001), с. 145.
12. А. З. Девдариани, Е. А. Чесноков, *Хим. физика* **22**, 109 (2003).
13. M. Keil, L. J. Danielson, U. Buck et al., *J. Chem. Phys.* **89**, 2866 (1988).
14. H. Haberland, W. Konz, and P. Oesterlin, *J. Phys. B* **15**, 2969 (1982).
15. А. Л. Загребин, С. И. Церковный, *Опт. и спектр.* **79**, 556 (1995).
16. Н. Мотт, Г. Месси, *Теория атомных столкновений*, Изд-во иностр. лит., Москва (1951), с. 180.
17. Л. Д. Ландау, Е. М. Лифшиц, *Квантовая механика*, Наука, Москва (1989), с. 656.
18. Е. Е. Никитин, С. Я. Уманский, *Неадиабатические переходы при медленных атомных столкновениях*, Атомиздат, Москва (1979), с. 177.
19. J. N. L. Connor, *J. Chem. Phys.* **74**, 1047 (1981).
20. М. Абрамовиц, И. Стиган, *Справочник по специаль-ным функциям*, Наука, Москва (1979), с. 153.
21. А. З. Девдариани, *ЖЭТФ* **96**, 472 (1989).